

МИНОБРНАУКИ РОССИИ

Федеральное государственное бюджетное образовательное учреждение
высшего образования

**«САРАТОВСКИЙ НАЦИОНАЛЬНЫЙ ИССЛЕДОВАТЕЛЬСКИЙ
ГОСУДАРСТВЕННЫЙ УНИВЕРСИТЕТ ИМЕНИ Н.Г.ЧЕРНЫШЕВСКОГО»**

Кафедра Математического и компьютерного моделирования

Моделирование движения заглубляемого

одностержневого контактного трала

АВТОРЕФЕРАТ БАКАЛАВРСКОЙ РАБОТЫ

студентки 4 курса 411 группы

направление 01.03.02 — Прикладная математика и информатика

механико-математического факультета

Графов Дмитрий Алексеевич

Научный руководитель
зав. каф., д.ф.-м.н., доцент

Ю.А. Блинков

Зав. кафедрой
зав. каф., д.ф.-м.н., доцент

Ю.А. Блинков

Саратов 2020

Введение. В данной дипломной работе будет рассматриваться поведение заглубляемого одностержневого и двухстержневого трала, которые могут быть использованы для траления якорных мин, выставленных на различных глубинах от поверхности воды и снабженных как контактными, так и неконтактными взрывателями, применяются контактные тралы всевозможных конструкций, отвечающие определенным требованиям. Они же предназначены для борьбы с плавающими, дрейфующими на заданном углублении контактными и неконтактными минами, а также с минными защитниками всех типов.

Современные контактные тралы представляют собой сложные гидродинамические комплексы, включающие активную (тралящую) часть, оснащенную резаками или подрывными патронами, углубитель, отводитель и защитные устройства. Существуют конструкции углубителей, удерживающих трал на заданном углублении как от поверхности воды, так и ото дна. Обычно используются отводители решетчатого или планерного типа. Основными активными элементами контактных тралов, воздействующими на мины, являются резаки, которые делятся на механические и взрывные. В тралах, служащих для обозначения или непосредственного уничтожения под водой якорных мин, вместо резаков используются пропускающие сигнализирующие либо пропускающие взрывные устройств.

Главными целями данной работы являются

1. Построение упрощённых одностержневой и двухстержневой моделей заглубляемого трала для математического описания которых, будут введены несколько допущений, связанных с отводителем и углубителем.
2. Вывод уравнений Лагранжа второго рода для одностержневой и двухстержневой моделей заглубляемого трала через обобщенные координаты.
3. Написание программы на языке Python для подсчета значений решения уравнений Лагранжа, с выводом графиков для наглядности решения. Выбран метод Кейна для решения поставленной задачи.

Работа состоит из четырех частей. В первой теоретической части приведено изложение методов для построения систем дифференциальных уравнений для описания движения твердого тела в обобщенных координатах. Во второй практической части ведется построение моделей и вывод уравнений Лагранжа второго рода для одностержневого троса. Третья часть посвящена символическому построению необходимых уравнений с их дальнейшим численным интегрированием в четвертой части.

Рассмотрим метод Кейна:

- Основан на принципе Даламбера-Лагранжа.
- В уравнения не входят реакции связей.
- Алгоритм построения и форма уравнений движения ориентированы на машинное формирование уравнений движения.
- Метод разработан в 1961 проф. Т.Кейном.

Мы имеем уравнения движения системы точек:

$$m_i a_i - F_i + R_i = 0, \quad (1)$$

Умножим каждое уравнение на соответствующее виртуальное перемещение δr_i и сложим все уравнения:

$$\sum_{i=1}^N (F_i - m_i a_i) \delta r_i + \sum_{i=1}^N R_i \delta r_i = 0. \quad (2)$$

Так как

$$\sum_{i=1}^N R_i \delta r_i = 0. \quad (3)$$

Мы получаем общее уравнение динамики:

$$\sum_{i=1}^N (F_i - m_i a_i) \delta r_i = 0. \quad (4)$$

Мы имеем вариацию радиус-вектора $r_i(q_1, \dots, q_n)$:

$$\delta r_i = \sum_{j=1}^n \frac{\partial r_i}{\partial q_j} \delta q_j \quad (5)$$

Подставим (5) в (4) и получаем:

$$\sum_{i=1}^N (F_i - m_i a_i) \sum_{j=1}^n \frac{\partial r_i}{\partial q_j} \delta q_j = 0. \quad (6)$$

Дальше нужно изменить порядок суммирования в полученном равенстве

$$\sum_{j=1}^n \sum_{i=1}^N \left(F_i \frac{\partial r_i}{\partial q_j} - m_i a_i \frac{\partial r_i}{\partial q_j} \right) \delta q_j = 0 \quad (7)$$

Учитывая независимость вариаций обобщенных координат, уравнение примет вид:

$$\sum_{i=1}^N \left(F_i \frac{\partial r_i}{\partial q_j} - m_i a_i \frac{\partial r_i}{\partial q_j} \right) \delta q_j = 0 \quad (8)$$

Скорость точки

$$v_i = \frac{dr_i}{dt} = \frac{\partial r_i}{\partial q_1} \dot{q}_1 + \frac{\partial r_i}{\partial q_2} \dot{q}_2 + \dots + \frac{\partial r_i}{\partial q_n} \dot{q}_n + \frac{\partial r_i}{\partial t} = \sum_{j=1}^n \frac{\partial r_i}{\partial q_j} \frac{dq_j}{dt} + \frac{\partial r_i}{\partial t} \quad (9)$$

Таким образом частная производная скорости точки по обобщенной скорости:

$$u_{ij} = \frac{\partial v_i}{\partial \dot{q}_j} \quad (10)$$

После чего подставим

$$\frac{\partial r_i}{\partial q_k} = \frac{\partial v_i}{\partial \dot{q}_k} \quad (11)$$

В уравнение движения, можем получить

$$\sum_{i=1}^N \left(F_i \frac{\partial r_i}{\partial q_j} - m_i a_i \frac{\partial v_i}{\partial \dot{q}_j} \right) = 0 \quad (12)$$

Или, если быть точнее:

$$\sum_{i=1}^N \left(F_i \frac{\partial r_i}{\partial q_j} - m_i a_i u_{ij} \right) = 0 \quad (13)$$

Обобщенные активные силы Q_i равны

$$Q_i = \sum_{i=1}^N F_i u_{ij} \quad (14)$$

Итак алгоритм метода имеет вид:

- Выбираются обобщенные координаты q_1, q_2, \dots, q_n .
- Определяются выражения для скоростей точек приложения сил и центров масс всех тел: v_i .
- Определяются линейные и угловые ускорения тел системы a_i, ε_i .
- Определяются частные скорости $u_{ij} = \frac{\partial v_i}{\partial \dot{q}_j}$.
- Определяются силы и моменты.
- Вычисляются скалярные произведения сил, моментов и частных скоростей.

Упрощённая геометрия заглубляемого контактного трала приведена в соответствии с рисунком 1:

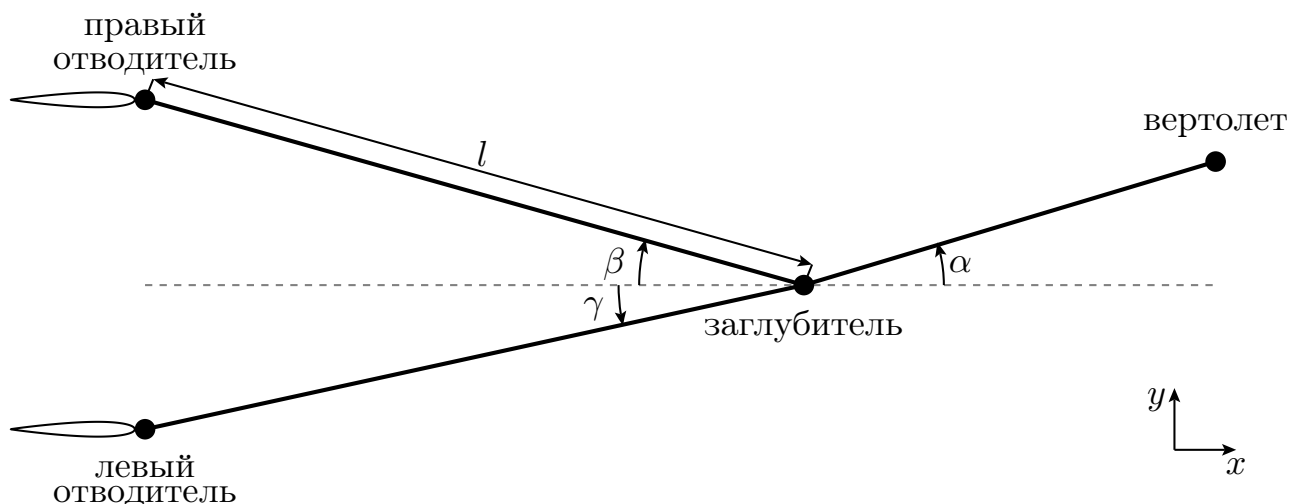


Рисунок 1 — Геометрия заглубляемого трала

Сплошные линии в соответствии с рисунком обозначают тросовые соединения. Отводители и заглубитель представляют собой подводные буи с крыльями, для математического описания которых введён ряд упрощающих модель допущений:

- глубина траления фиксирована и не зависит от динамики движения. Это предположение даёт возможность ограничиться построением модели только горизонтальной динамики движения подводной части трала;
- для тросовых соединений используется квазистатичная модель буксировочного троса в виде одного недеформируемого стержня;
- горизонтальная ориентация каждого буя всегда постоянно направлена по его тросовому соединению, т.е. предполагаем, что хвостовое оперение отводителя обеспечивает ему фиксированный угол к «недеформируемому стержню». Это предположение даёт возможность использовать коэффициенты лобового сопротивления и коэффициенты подъемной силы и в малых углах отклонения от фиксированного угла атаки для обеспечения боковое смещение крыльев отводителей.

В соответствии с рисунком 2 представленные силы действующие на заглубляемый трал и соответствующие им направления скоростей:

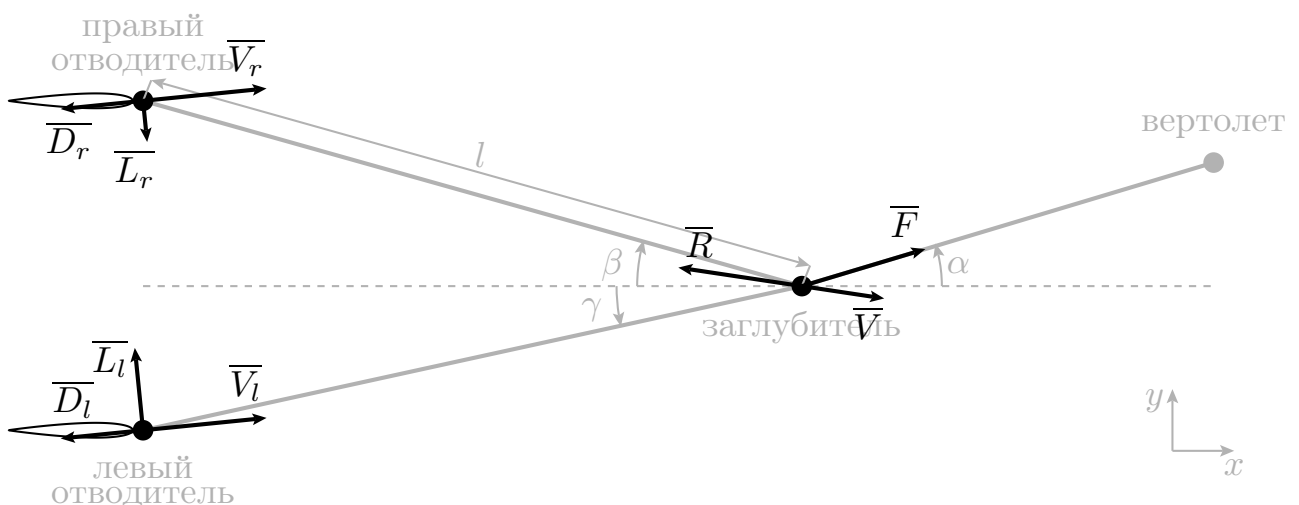


Рисунок 2 — Силы действующие на заглубляемый трал

Для описания модели введем следующие обобщенные координаты:

x, y - декартовы координаты заглубителя;

β — угол направления стержня правого отводителя;

γ — угол направления стержня левого отводителя.

В результате декартовы координаты левого заглубителя для определения кинетической энергии представим через обобщенные координаты

$$((x - \ell \cos(\beta), (y - \ell \sin(\beta))), \quad (15)$$

а декартовы координаты правого заглубителя

$$((x - \ell \cos(\gamma), (y - \ell \sin(\gamma))). \quad (16)$$

Кинетическая энергия системы T состоит из кинетической энергии отводителей с массой m_1 и заглубителя с массой m_2 :

$$T = \frac{\ell m_1}{2} (\dot{\beta})^2 + \frac{\ell m_1}{2} (\dot{\gamma})^2 + \ell m_1 \sin(\beta) \dot{\beta} \dot{x} + \ell m_1 \sin(\gamma) \dot{\gamma} \dot{x} + \\ + \ell m_1 \cos(\beta) \dot{\beta} \dot{y} - \ell m_1 \cos(\gamma) \dot{\gamma} \dot{y} + \frac{m}{2} (\dot{x})^2 + \frac{m}{2} (\dot{y})^2 + m_1 (\dot{x})^2 + m_1 (\dot{y})^2 \quad (17)$$

Обозначим через c_d, c_{d1} коэффициенты лобового сопротивления заглубителя и отводителей, а через $c_{\ell 1}$ коэффициент подъемной силы отводителей. Запишем действующие силы в декартовой системе координат.

Для заглубителя:

$$\left(F \cos(\alpha) - c_d \sqrt{(\dot{x})^2 + (\dot{y})^2} \dot{x}, F \sin(\alpha) - \sqrt{(\dot{x})^2 + (\dot{y})^2} \dot{y} \right) \quad (18)$$

Правый отводитель:

$$\left(\left(-c_{d1} \left(\ell \sin(\beta) \dot{\beta} + \dot{x} \right) + c_{d1} \left(\ell \cos(\beta) \dot{\beta} + \dot{y} \right) \right) \times \right. \\ \times \sqrt{\ell^2 (\dot{\beta})^2 + 2\ell \sin(\beta) \dot{\beta} \dot{x} + 2\ell \cos(\beta) \dot{\beta} \dot{y} + (\dot{x})^2 + (\dot{y})^2}, \\ \left. - \left(c_{d1} \ell \sin(\beta) \dot{\beta} + c_{d1} \dot{x} + c_{\ell 1} \ell \cos(\beta) \dot{\beta} + c_{\ell 1} \dot{y} \right) \times \right. \\ \left. \times \sqrt{\ell^2 (\dot{\beta})^2 + 2\ell \sin(\beta) \dot{\beta} \dot{x} + 2\ell \cos(\beta) \dot{\beta} \dot{y} + (\dot{x})^2 + (\dot{y})^2} \right). \quad (19)$$

Левый отводитель:

$$\begin{aligned}
& ((-c_{d1} (\ell \sin(\gamma)\dot{\gamma} + \dot{x}) + c_{d1} (\ell \cos(\gamma)\dot{\gamma} + \dot{y})) \times \\
& \times \sqrt{\ell^2 (\gamma)^2 + 2\ell \sin(\gamma)\dot{\gamma}\dot{x} + 2\ell \cos(\gamma)\dot{\gamma}\dot{y} + (\dot{x})^2 + (\dot{y})^2}, \\
& - (c_{d1}\ell \sin(\gamma)\dot{\gamma} + c_{d1}\dot{x} + c_{\ell 1}\ell \cos(\gamma)\dot{\gamma} + c_{\ell 1}\dot{y}) \times \\
& \times \sqrt{\ell^2 (\gamma)^2 + 2\ell \sin(\gamma)\dot{\gamma}\dot{x} + 2\ell \cos(\gamma)\dot{\gamma}\dot{y} + (\dot{x})^2 + (\dot{y})^2}). \quad (20)
\end{aligned}$$

Для определения обобщенных сил воспользуемся аналитическим способом:

$$Q_i = \sum_{k=1}^N \left(F_{kx} \frac{\partial x_k}{\partial q_i} + F_{ky} \frac{\partial y_k}{\partial q_i} + F_{kz} \frac{\partial z_k}{\partial q_i} \right) \quad (21)$$

В результате имеем следующий вид обобщенных сил:

$$\begin{aligned}
Q_x = & F \cos(\alpha) - c_d \sqrt{(\dot{x})^2 + (\dot{y})^2} \dot{x} + \left(-cd1 \left(\ell \sin(\beta)\dot{\beta} + \dot{x} \right) + \right. \\
& + c_{\ell 1} \left(\ell \cos(\beta)\dot{\beta} + \dot{y} \right) \left. \sqrt{\ell^2 (\beta)^2 + 2\ell \sin(\beta)\dot{\beta}\dot{x} + 2\ell \cos(\beta)\dot{\beta}\dot{y} + (\dot{x})^2 + (\dot{y})^2} + \right. \\
& + (-c_{d1} (\ell \sin(\gamma)\dot{\gamma} + \dot{x}) + \\
& + c_{\ell 1} (\ell \cos(\gamma)\dot{\gamma} - \dot{y})) \sqrt{\ell^2 (\gamma)^2 + 2\ell \sin(\gamma)\dot{\gamma}\dot{x} + 2\ell \cos(\gamma)\dot{\gamma}\dot{y} + (\dot{x})^2 + (\dot{y})^2} \quad (22)
\end{aligned}$$

$$\begin{aligned}
Q_y = & F \sin(\alpha) - c_d \sqrt{(\dot{x})^2 + (\dot{y})^2} \dot{y} + (-cd1 (\ell \sin(\gamma)\dot{\gamma} + \dot{x}) + \\
& + c_{\ell 1} (\ell \cos(\gamma)\dot{\gamma} - \dot{y})) \sqrt{\ell^2 (\gamma)^2 + 2\ell \sin(\gamma)\dot{\gamma}\dot{x} + 2\ell \cos(\gamma)\dot{\gamma}\dot{y} + (\dot{x})^2 + (\dot{y})^2} - \\
& - \left(c_{d1}\ell \sin(\beta)\dot{\beta} + c_{d1}\dot{x} + c_{\ell 1}\ell \cos(\beta)\dot{\beta} + \right. \\
& + c_{\ell 1}\dot{y} \left. \sqrt{\ell^2 (\beta)^2 + 2\ell \sin(\beta)\dot{\beta}\dot{x} + 2\ell \cos(\beta)\dot{\beta}\dot{y} + (\dot{x})^2 + (\dot{y})^2} \right) \quad (23)
\end{aligned}$$

$$\begin{aligned}
Q_\beta &= \frac{\ell}{2} \sqrt{\ell^2 (\dot{\beta})^2 + 2\ell \sin(\beta) \dot{\beta} \dot{x} + 2\ell \cos(\beta) \dot{\beta} \dot{y} + (\dot{x})^2 + (\dot{y})^2} \times \\
&\times \left(\sqrt{2} c_{d1} \ell \cos\left(2\beta + \frac{\pi}{4}\right) \dot{\beta} - c_{d1} \ell \dot{\beta} - 2\sqrt{2} c_{d1} \sin\left(\beta + \frac{\beta}{4}\right) \dot{x} - \right. \\
&\left. - \sqrt{2} c_{\ell 1} \ell \cos\left(2\beta + \frac{\pi}{4}\right) \dot{\beta} - c_{\ell 1} \ell \dot{\beta} - 2\sqrt{2} c_{\ell 1} \cos\left(\beta + \frac{\pi}{4}\right) \dot{y} \right) \quad (24)
\end{aligned}$$

$$\begin{aligned}
Q_\gamma &= \frac{\ell}{2} \sqrt{\ell^2 (\dot{\gamma})^2 + 2\ell \sin(\gamma) \dot{\gamma} \dot{x} + 2\ell \cos(\gamma) \dot{\gamma} \dot{y} + (\dot{x})^2 + (\dot{y})^2} \times \\
&\times \left(\sqrt{2} c_{d1} \ell \sin\left(2\gamma + \frac{\pi}{4}\right) \dot{\gamma} - c_{d1} \ell \dot{\gamma} - 2\sqrt{2} c_{d1} \cos\left(\gamma + \frac{\beta}{4}\right) \dot{x} + \right. \\
&\left. + \sqrt{2} c_{\ell 1} \ell \sin\left(2\gamma + \frac{\pi}{4}\right) \dot{\gamma} - c_{\ell 1} \ell \dot{\gamma} - 2\sqrt{2} c_{\ell 1} \sin\left(\gamma + \frac{\pi}{4}\right) \dot{y} \right) \quad (25)
\end{aligned}$$

Уравнения Лагранжа второго рода

$$\frac{d}{dt} \left(\frac{\partial T}{\partial \dot{q}_i} \right) - \left(\frac{\partial T}{\partial q_i} \right) = Q_i \quad (26)$$

для рассматриваемой системы примут вид:

$$\begin{aligned}
\ell m_1 \sin(\beta) \ddot{\beta} + \ell m_1 \sin(\gamma) \ddot{\gamma} + \ell m_1 \cos(\beta) \left(\dot{\beta} \right)^2 + \ell m_1 \cos(\gamma) (\dot{\gamma})^2 + \\
+m \ddot{x} + 2m_1 \ddot{x} = Q_x \quad (27)
\end{aligned}$$

$$\begin{aligned}
-\ell m_1 \sin(\beta) \left(\dot{\beta} \right)^2 + \ell m_1 \sin(\gamma) (\dot{\gamma})^2 + \ell m_1 \cos(\beta) \ddot{\beta} + \ell m_1 \cos(\gamma) \ddot{\gamma} + \\
+m \ddot{y} + 2m_1 \ddot{y} = Q_y \quad (28)
\end{aligned}$$

$$\ell m_1 \left(\ell \ddot{\beta} + \sin(\beta) \ddot{x} + \cos(\beta) \ddot{y} \right) = Q_\beta \quad (29)$$

$$\ell m_1 \left(\ell \ddot{\gamma} + \sin(\gamma) \ddot{x} + \cos(\gamma) \ddot{y} \right) = Q_\gamma \quad (30)$$

В соответствии с рисунком 3 были использованы данные модели обтекание профиля NASA 0012 для моделирования характеристик отводителя.

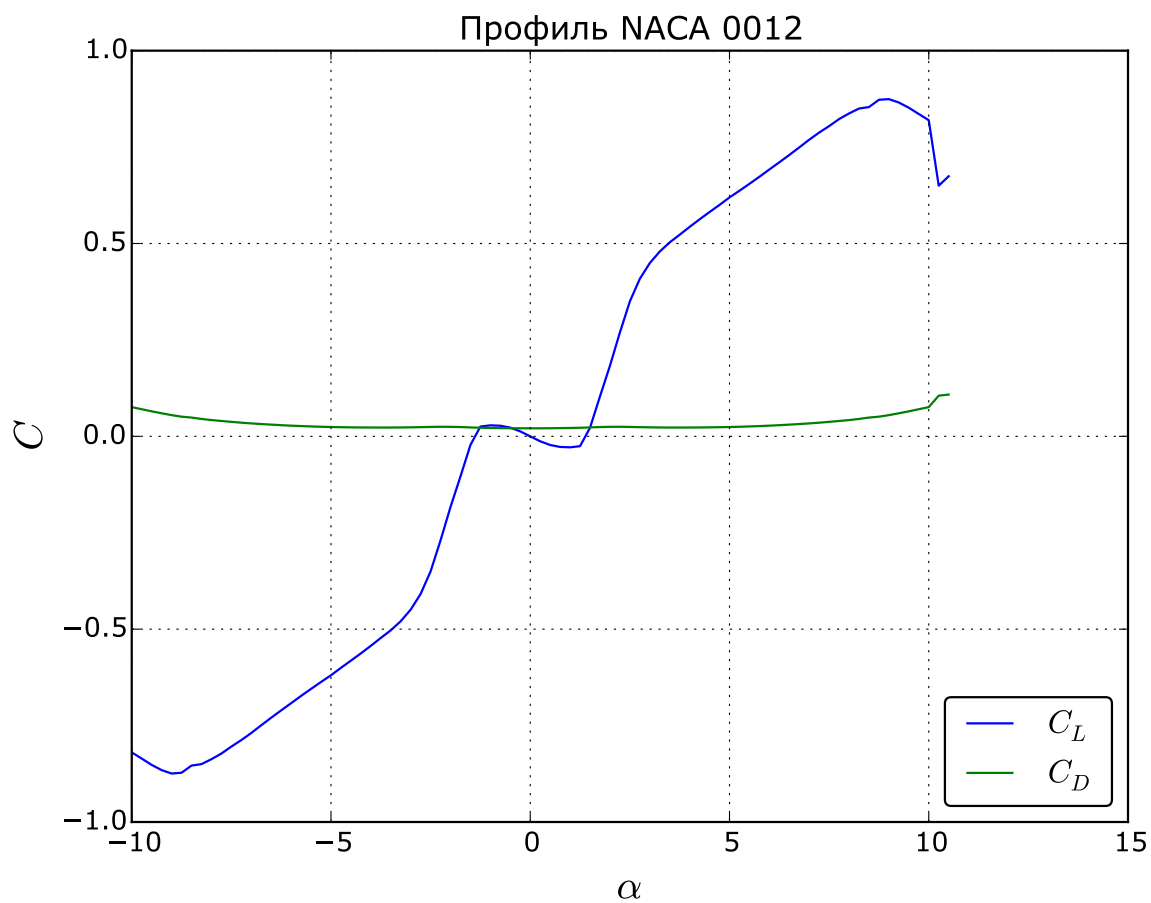


Рисунок 3 — Аэродинамические характеристики NASA 0012

В соответствии с рисунком 4 с помощью разработанной программы проведено численное моделирование и представлено в соответствии с рисунком 4 и дало правдоподобный результат

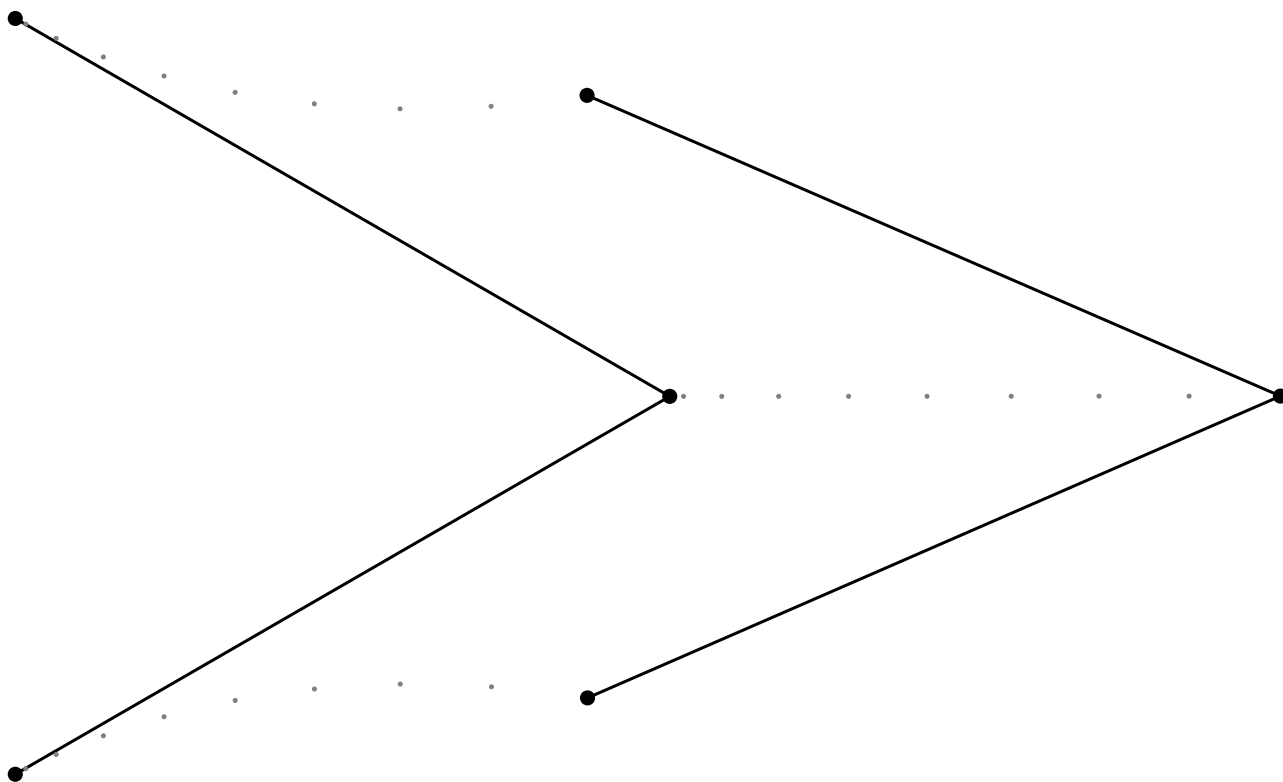


Рисунок 4 — Картина движения одностержневого трала

Заключение. В данной бакалаврской работе проведено моделирование заглабляемого одностержневого и двухстержневого трала средствами теоретической механикой. Были получены системы обыкновенных дифференциальных уравнений для описания предлагаемых моделей и проведены вычислительные эксперименты.